

## نقش اختصاصی ان-استیل گالاکتوز آمین در تبدیل سلوهای متراکم مزانشیم جوانه اندام به غضروف در موش

\* دکتر حسن مفید پور، \*\* دکتر رستم قربانی کلخواجه، \* دکتر علیرضا فاضل

\* گروه علوم تشریحی، دانشکده پزشکی، دانشگاه علوم پزشکی مشهد

\*\* گروه علوم تشریحی، دانشکده پزشکی، دانشگاه علوم پزشکی کرمانشاه

### خلاصه

ماده خارج سلوی و پوشش ترکیبات قندی در سطح سلوهای جنینی در انجام اعمال سلوی نقش برجانی ایفا می نمایند. هدف از مطالعه اخیر تعیین زمان ظهرور ترکیبات قندی در مرحله گذر سلوهای مزانشیمی جوانه های اندام در جنین به تراکم مزانشیمی و سپس تبدیل به غضروف می باشد. با به کار گیری روشهای هیستوشیمیابی جوانه های اندام جنین های ۱۰-۱۶ روزه موش برای مطالعات لکتین هیستوشیمی آماده شدند. در این مطالعات از لکتین های DBA، VVA/B4، VVA استفاده گردید که همگی به HRP متصل شده بودند. این لکتین ها اختصاصاً قند انتهای ان-استیل گالاکتوز آمین را در زنجیره های قندی مربوط به پروتئین ها مشخص می نمایند. نتایج نشان داد که در طی این دوران گذر فقط دو لکتین VVA و VVA/B4 با تراکم سلوهای مزانشیمی واکنش دادند که مشخص می کند این قند انتهایی اختصاصاً نقش عمده ای در این مرحله تکاملی دارد. زمان و توزیع واکنش ها به مزانشیم و تراکم مزانشیمی و تبدیل آنها به غضروف نیز موید این موضوع می باشد.

کلمات کلیدی: لکتین هیستوشیمی، مزانشیم، جوانه اندام، ان-استیل گالاکتوز آمین

### مقدمه

که باعث این تغییر و تبدیل می شوند به خوبی شناخته نشده است. یکی از فاکتورهای با اهمیت در تکامل دستگاههای مختلف جنبی کربوهیدراتها می باشند که به صورت زنجیره های قندی به پروتئینها و یا لیپیدها متصل بوده به طور کلی تحت عنوان گلیکوکانجوگیتها نامگذاری شده اند<sup>(۵, ۷, ۱۲, ۱۳)</sup>. با توجه به نقش گلیکوکانجوگیتها در تمايزات سلوی باید گفت کربوهیدراتهای انتهایی زنجیره های قندی در میان کنش های سلوی شرکت فعال و کلیدی دارند. در این بررسی مطالعه تعیین زمان ظهرور این قندها و تأثیر آنها در روند تکامل و تغیراتی که مزانشیم در تبدیل به غضروف با استفاده از چهار لکتین (جدول ۱) ویژه تشخیص ان-استیل گالاکتوز آمین<sup>(۷, ۹, ۱۱, ۱۳, ۱۶, ۱۸)</sup> دارد، انجام شد. نتایج این بررسی ها نقش این ملکول ها را در این مطالعات هیستوشیمیابی با استفاده از لکتین VVA و VVA/B4 در مرحله حساس تبدیل مزانشیم به غضروف در جوانه اندام به خوبی مشخص نموده است.

تکامل جوانه اندام مورد مطالعه بسیاری از پژوهشگران قرار گرفته است<sup>(۱, ۴, ۵, ۸)</sup>. مورفوژنز اندام مدل بسیار خوبی برای مطالعه مراحل مختلف تغییرات سلوی و ملکولی در ضمن دوران تکامل جنبی است. ضمن مطالعات مورفوژولوژیک جوانه اندام در رابطه با رشد آن، چرخش اندامها و شکل گیری قسمتهای مختلف اندام و نقش فاکتورهایی مانند (Zone of Polarizing Activity) ZPA (Apical Ectodermal Ridge) ضخامت لبه اکتووردرمی (Apical Ectodermal Ridge) AER با مزو درم زیر خود و همین طور نقش FGF (Fibroblast Growth Factor) و عوامل دیگر مشخص شده اند<sup>(۳, ۵, ۱۰, ۱۷, ۲۰)</sup>. سلوهای مزانشیمی اندام که مسؤول شکل گیری قالب های غضروف و سپس استخوانها می باشند از مزو درم صفحات طرف جنبی سرچشم می گیرند<sup>(۱۷)</sup>. این سلوها در مرکز جوانه اندام تراکم پیدا نموده و به تدریج تبدیل به غضروف می گردند<sup>(۸, ۱۱)</sup>، اما عواملی

۲/۵ استفاده گردید که این نواحی به رنگ آبی در می‌آیند. کلیه مقاطع تهیه شده توسط پژوهشگران با میکروسکوپ استاد و دانشجو مدل Olympus BX50-F3 با دقت مورد مطالعه و بررسی قرار گرفت و از برش‌های انتخابی تصویربرداری انجام گردید.

### نتایج

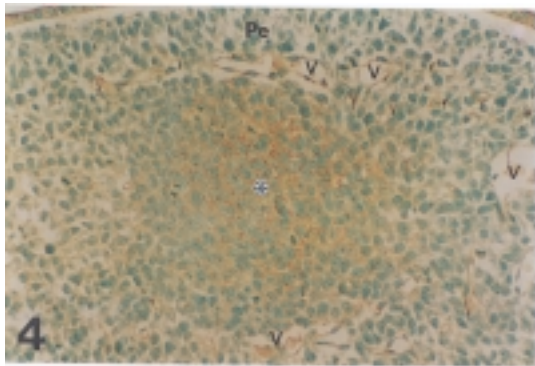
لکتین‌های به کار رفته از روز دهم جنینی مورد استفاده قرار گرفتند، به نظر می‌رسد اولین اثر و نشانه‌های واکنش سلوهای مزانشیمی به لکتین VVA و VVA/B4 در اولین ساعات روز ۱۲ جنینی در جوانه اندام فوقانی ظاهر شد (تصویر ۱) در حالی که قبل از روز ۱۲ جنینی هیچ گونه اثر و نشانه‌ای از آنها مشاهده نگردید. مقاطعی که در اوایل روز ۱۴ جنینی تهیه شده بود با لکتین SBA مجاورت داده شدند که واکنش و عکس العمل مشبی در سلوهای مزانشیمال مشاهده نشد. اما، در همین مقاطع با لکتین VVA و VVA/B4 سلوهای مزانشیمی واکنش نموده و نواحی از تراکم سلولی به صورت توده گردی را مشخص نمود. در این تراکم سلوهای مرکزی در مناطق گلزاری خود و ماده خارج سلولی واکنش شدیدتری نشان داده بودند (تصویر ۳). علاوه بر این باید گفت که تراکم سلوهای مزانشیمی در حقیقت توده سلولی هستند که پیش سازهای غضروفی که در آینده استخوان اولنا و رادیوس را می‌سازند، تشکیل می‌دهند. در ضمن در مقاطع مذکور نشانه‌هایی از ظهور عروق خونی مشهود است (تصویر ۴). در مقاطع مربوط به اواخر روز ۱۴ جنینی از جوانه اندام فوقانی تراکم سلوهای مزانشیمی گسترش بیشتری یافته و منطقه بین غضروفهای در حال تشکیل واکنش نشان داده و فیرهای عضلانی نیز در حال تشکیل دیده می‌شوند (تصویر ۵). مطالعه مقاطع جوانه اندام فوقانی با استفاده از درشت نمایی بزرگتر نواحی مرکزی پیش سازهای غضروفی با دقت بیشتری مورد بررسی قرار گرفتند و مشخص گردید که میزان واکنش در نواحی مرکزی بیشتر شده اما شدت آن در نواحی اطراف توده‌های غضروفی کمتر بود (تصویر ۵ و ۶). به منظور افتراق بیشتر نواحی زمینه‌ای بافت‌ها با آلسین بلو رنگ آمیزی و به خوبی

### مواد و روش کار

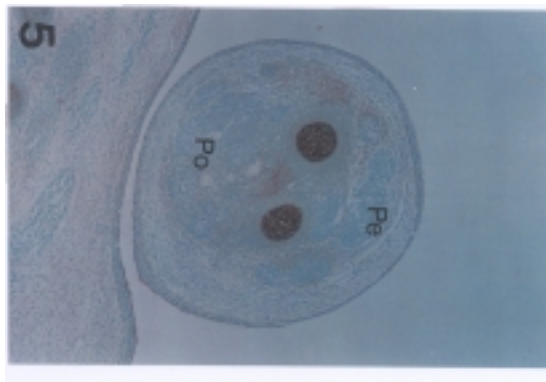
موشهای آزمایشگاهی نژاد BALB/c (سه نر با یک ماده) به مدت یک شب در قفس نگهداری شدند. با مشاهده پلاک واژن (Vaginal plaque) در صبح روز بعد زمان صفر حاملگی مشخص گردید. سپس موشهای حامله در قفسهای جداگانه ای قرار داده شدند و به ترتیب از روزهای دهم تا شانزدهم جنینی با اتر بیهوش و جنین‌های آنها خارج گردیده و بلافضله پس از شستشو در سرم فیزیولوژی در محلول ثابت کننده B4G قرار گرفتند (۱۸). پس از ۲۴ ساعت طبق روال معمولی مطالعات هیستولوژی (۲) جنین‌ها از الکل‌های با درجات مختلف (٪۳۰، ٪۷۰، ٪۸۰، ٪۹۰ و ۱۰۰٪) در مدت معین عبور داده و آبگیری انجام گردید، بعد از پایان مرحله آبگیری و قرار گرفتن در گزینل نونه‌ها در وضعیت های متفاوت در پارافین مذاب قرار داده شده و در حرارت معمولی آزمایشگاه قالب‌گیری شدند به طوری که بتوان از آنها برشهای فرونتال، سازیتال و عرضی تهیه نمود. برشهای ضخامت ۵ میکرون به طریقه پشت سرهم (Serial section) تهیه گردیدند (۲، ۱۸).

روش کار در این مطالعات هیستوشیمیایی مشابه موارد گزارش شده قبل می‌باشد (۷، ۱۸)، لکتین‌های کانجیوگیت شده با (Horse Radish Peroxiase) HRP باره بودند از SBA، DBA، VVA/B4، VVA ان-استیل گالاکتوزآمین (GalNac) (جدول شماره ۱) که بوسیله بافر فسفات (PBS) ریق شده به طوری که در هر میلی لیتر بافر ۱۰ میکروگرم ماده موثر وجود داشت. pH محلول برابر ۷/۲ و مدت قرار گرفتن لکتین بر روی بافت‌ها دو ساعت در درجه حرارت معمولی آزمایشگاه بود. سپس تمام لامهای تجربی با بافر شستشو داده شده و به مدت ۱۰ دقیقه در مجاورت محلول DAB (Diamiodobenzidine) و آب اکسیژنه قرار گرفتند، نواحی که با هر یک از لکتین‌ها واکنش نشان دادند به رنگ قهوه‌ای درآمدند. جهت تشخیص قسمهای مختلف بافت‌های جنینی از رنگ زمینه آلیسن بلو با pH برابر

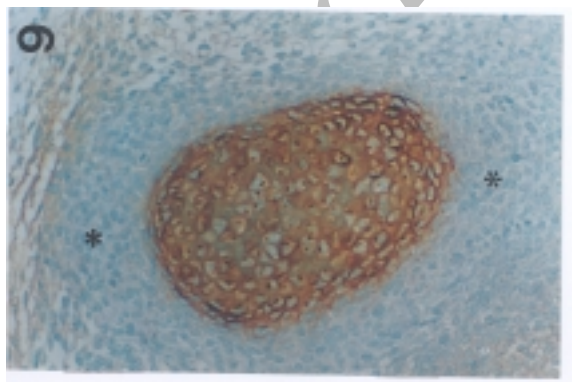
### نقش اختصاصی ان-استیل گالاكتوز آمین



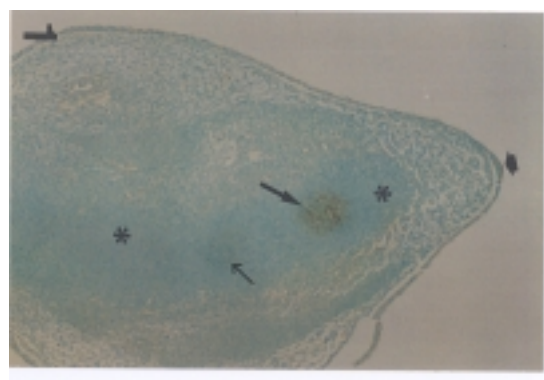
تصویر ۴: مقطع عرضی اندام فوقانی در آخر روز ۱۴ جنین موس (لکتین به کار رفته VVA/B4). سلولها و ماده خارج سلولی بیشتری واکنش با لکتین نشان داده و عروق خونی (V) نیز ظاهر شده و سلولهای مهاجر (فلش ها) با واکنش خفیف دیده می شوند (درشت نمایی  $40\times 40$ ).



تصویر ۵: مقطع عرضی اندام فوقانی جنین ۱۶ روزه موس (لکتین به کار رفته VVA/B4). دو توده قوهه ای غضروفهای در حال تشکیل با واکنش شدید دیده می شوند. m فیرهای عضلانی در حال تشکیل است (درشت نمایی  $20\times 20$ ).



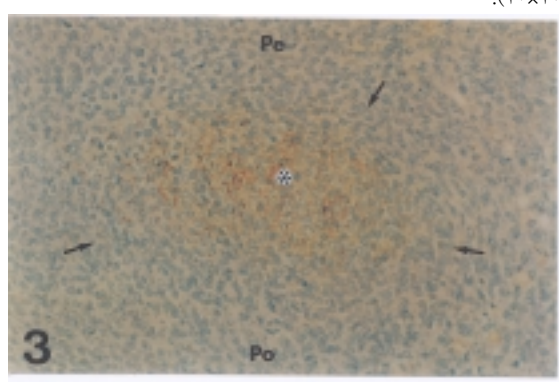
تصویر ۶: یکی از غضروفهای در حال تشکیل با بزرگ نمایی بیشتر، سلول های اطراف توده غضروفی (ستاره ها) تراکم بیشتری دارند و با آسین بلورنگ گرفته اند (درشت نمایی  $40\times 40$ ).



تصویر ۱: برش فرونتال اندام فوقانی جنین ۱۲ روزه موس (لکتین به کار رفته VVA/B4). واکنش نسبتاً شدید با لکتین (فلش بزرگ)، واکنش کم (فلش کوچک)، تراکم سلولهای مزانشیمی (ستاره ها) و ناحیه AER واکنش کمی داشته است (سر فلش). (درشت نمایی  $10\times 10$ ).



تصویر ۲: برش فرونتال اندام فوقانی جنین ۱۴ روزه موس (لکتین به کار رفته SBA). نواحی تراکم سلولی با واکنش منفی (ستاره ها)، قسمت هایی از تراکم سلولی با واکنش مثبت (فلش) و C ناحیه در حال غضروفی شدن که با SBA واکنش مثبت نشان داده است (درشت نمایی  $10\times 10$ ).



تصویر ۳: مقطع عرضی جوانه اندام فوقانی جنین ۱۴ روزه موس (لکتین به کار رفته VVA/B4). تراکم سلولی مزانشیم بیشتر و سلولهای مرکزی آن واکنش بیشتری با لکتین داشته است در حالی که سلول های اطراف بدون واکنش بوده و Po و نواحی پره و پست اگزیال هستند. (درشت نمایی  $20\times 20$ ).

نقش کلیدی به خصوص در تایزیات سلولی و میان کنشهای بین سلولی (cell interactions) داردند(۱، ۴، ۵).

هر چهار لکتینی که در این مطالعات هیستوشیمیابی مورد استفاده قرار گرفت قند انتهایی ان - استیل گالاکتوزآمین را مشخص می نمایند، اما هر کدام به تنها یکی ویژگیهای خود را داشته و بستگی به موقعیت فضایی، نوع اتصال به قند ماقبل آخر در زنجیره قدمی و نوع قند ماقبل از آخر، واکنش نشان می دهدند(۷، ۹، ۱۶، ۱۸). برای مثال DBA به صورت کاملاً اختصاصی سلولهای جنینی اولیه را مشخص می نمایند. در حالی که هیچ نوع سلول دیگر در طی مرحله مهاجرت سلولهای جنسی اولیه به این لکتین واکنش ندارند. اما سایر لکتین های مشابه DBA مانند VVA/B4، VVA و SBA با اینکه سلولهای جنسی را مشخص می نمایند، اما اختصاصی وارد عمل نمی شوند. علاوه بر این سلولها، با سایر بافت‌های دیگر بدن نیز واکنش می دهدند(۷). در مطالعات ما مشابه همین واکنش در روند تبدیل سلولهای متراکم مزانشیمی در مرکز جوانه در حال تکامل اندام مشاهده می شود، به این معنی که پس از ایجاد تراکم سلولی، مرکز این تراکم به تدریج به دو لکتین VVA و VVA/B4 واکنش نشان می دهدند در حالی که سایر لکتین های نامبرده واکنشی با این منطقه ندارند. واکنش به VVA و VVA/B4 ابتدا در مناطق گلزاری سلولها و سپس در سطح آنها مشاهده می گردد و در روز شانزدهم حاملگی به حداقل خود می رسدند. این طور به نظر می رسد که سلولهای پیش‌ساز غضروفها (از مرحله تراکم مزانشیمی تا مرحله غضروفی) ضرورتاً می باشند وارد مراحل تایزیات سلولی شده و گلیکوکانجیوگیت حساس به VVA و VVA/B4 نقش عمده ای را در این مورد ایفا می نماید. مذکور می شود همان طوری که در تصویر ۲ مشخص شده است مراحل غضروفی شدن از ناحیه پروکسیمال به سمت دیستال پیشروع می شاید. در مرحله غضروفی گلیکوکانجیوگیت نامبرده شده ناپدید شده و قند انتهایی دیگری که به SBA حساس است، وارد عمل می گردد. با توجه به موارد فوق این طور به نظر می آید که

نام لکتین	اختصار	نوع قند انتهایی که اختصاصاً به آن متصل می گردد
Dolichos Biflorus	DBA	$\alpha$ -D-GlaNac
Vicia villosa	VVA	$\alpha$ -D-GalNac
Vicia villosa	VVA/B4	Ser(thr.)- $\alpha$ -D.GalNac
Glycine Max	SBA	$\alpha$ - $\beta$ -D-GalNac>D-Gal

GalNac = N-acetylgalactosamine, Gal = Galactose

قابل مشاهده هستند. با توجه به تصاویر ۱-۶ مشاهده می گردد که پس از ایجاد تراکم سلولهای مزانشیمی در اوایل دوران مورفوژنز از مرکز به خارج به تدریج لکتین VVA/B4 به سلولهای مزانشیمی واکنش نشان داده و در روز پانزدهم جنینی به اوج شدت خود می رسد. در حالی که مزانشیم متراکم اطراف مناطق واکنش داده شده فقط با آلسین بلو عکس العمل دارند و قسمت‌هایی از همین نواحی در روزهای ۱۲ و ۱۳ جنینی و همین طور نواحی از قسمت‌های قبل از غضروفی (تصویر ۲) به لکتین SBA واکنش نشان دادند.

## بحث

در این مطالعات هیستوشیمیابی مرحله خاصی از تکامل جوانه اندام یعنی تایزیات مزانشیم متراکم (Condense mesenchyme) به مرحله قبل از غضروفی و سپس غضروفی، مورد بررسی قرار گرفت. مزانشیم متراکم به دو صورت طولی در مرکز جوانه اندام شکل می گیرد در حالی که خود از سلولهای مهاجر مزو درم صفحات طرف ناشی شده است. در ابتدا مزانشیم به سمت میدان اندام حرکت نموده و سپس با شکل گیری AER و ZPA به همراه رشد و تکامل بعدی اندامها، این مزانشیم در مرکز اندامها متراکم شده و به تدریج به غضروف تایز پیدا می کنند(۸، ۱۱، ۱۲، ۱۹، ۲۰). روند تغییرات شیمیابی این مرحله مورد توجه چندانی قرار نگرفته و به ویژه نقش ترکیبات قندی در این مراحل مهم است، ترکیبات قندی در بسیاری از سیستمهای تکاملی بدن

8. Gould P., Day A., Wolpert L., 1972, Mesenchymal condensation and cell contact in early morphogenesis of the chick limb, *Exp. Cell. Res.*, 72: 325-336.
9. Hammarstrom S., Murphy L. A., 1977, Carbohydrate binding specificity of four N-Acetyl galactosamine "Specific" lectins: Helix pomatia a hemagglutinin, Soybean agglutinin, lima bean lectin and dolichos biflorus lectin, *Biochemistry*, 16: 2556-2750.
10. Johnson R., Tabin C., 1997, Molecular modes for vertebrate limb development, *Cell*, 90: 979-990.
11. Knudson C. B., Toole B. P., 1985, Changes in the pericellular matrix during differentiation of limb bud mesoderm, *Development Biology*, 112: 308-318.
12. Knudson C. B., Toole B. P., 1984, Hyaluronate interaction with the cell surface during chondrogenesis, *J. Cell Biochem.*, 88: 301.
13. Laden S. A., Schulte B. A., 1984, Histochemical evaluation of secretory glycoprotein in human salivary glands with lectin-horseradish peroxidase conjugates, *J. Histochem. Cytochem.*, 32: 965-972.
14. Milaire J., 1991, Lectin binding sites in developing mouse limb buds, *Anat. Embryol.* 184: 479-488.
15. Moscona A. A., Surface specification of embryonic cell: Lectin receptors in the cell surface in development, *Moscona ed.*, New York Wiley Anderson, 1974, PP. 67-99.
16. Ponder B. A. J., Wilkinson M. M., 1983, Organ-related differences in binding of dolichos biflorus agglutinin to vascular endothelium, *Dev. Bio.*, 96: 535-541.
17. Schaller S., Nyo-Muller V., 2001, Cell biology of Limb Patterning, *Int. Rev. Cytol.*, 203: 483-517.
18. Schulte B. A., Spicer, 1983, Light microscopic detection of sugar residues in glycoconjugates of salivary glands and the pancreas with lectin-horse radish peroxidase conjugate, I. Mouse, *Histochem. J.*, 15: 1217-1238.
19. Smith S. M., Pank K., 1989, Molecular approaches to vertebrate limb morphogenesis, *Development*, 121-131.
20. Tickle C., 1995, Vertebrate limb development, *Cur. Opin. Genet. Dev.*, 5(4): 478-484.

تمایزات سلوهای مزانشیمی که در مرکز اندامهای جنینی تبدیل به تراکم های سلوی و سپس مرحله قبل از غضروفی می شوند، در اثر تغییرات مولکولی سطح سلوی و ماده خارج سلوی بوده که میان کنش های منظم آنها نهایتاً باعث بوجود آمدن مرحله غضروفی می گردد. در این پدیده های شیمیابی مولکول ان-استیل گالاكتوز آمین که اختصاصاً با VVA و VVA/B4 واکنش می دهد و گلیکوپروتئین وابسته به آن، نقش عمده ای در این مرحله انتقالی (از مزانشیم به غضروف) ایفا می نماید.

## تشکر و قدردانی

پژوهشگران این مقاله از خدمات تکنیکی ارزنده خانم فاطمه متعدد قدردانی می نمایند.

## References

1. Arteage-Sol E., Gayraud B., Lee S., Shum L., Sakail I., Ramirez F., 2001, Regulation of limb patterning by extracellular microfibrils, *J. Cell Biol.*, 154(2): 275-81.
2. Bancroft J. D., Stevens A., Theory and practice of histological techniques, 2nd ed., Churchill livingston, 1982, p. 20-61.
3. Bushdid P. B., Brantly D. M., Yull F. F., Blaeuer G. L., 1998, Inhibition of NF - Kappa B Activity results in disruption of the apical ectodermal ridge and aberrant limb morphogenesis, *Nature*, 392: 615-618.
4. Capdevila J., Johnson R., 2000, Hedgehog Signaling in vertebrate and invertebrate limb patterning, *Cell Mol. Life Sci.*, 57(12): 1682-84.
5. Capdevila J., Izpisua Belmonte J., 2001, Patterning mechanism controlling vertebrate limb development, *Annu. Rev. Cell Biol.*, 17: 87-132.
6. Crackower M. A., Motoyama J., Tsui L. C., 1998, Defect in maintenance of the apical ectodermal ridge in the dactylaplasia mouse, *Dev. Biol.*, 201(1): 78-89.
7. Fazel A. R., Schulte B. A., Thompson R. P., Spicer S. S., 1987, Presence of a unique glycoconjugate on surface of rat primordial germ cells during migration, *Cell Diff.*, 21: 199-211.

Archive of SID